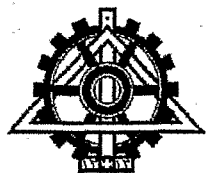


بِنَامِ پُرْدَانْ هَسْيَ بَحْش



دانشگاه تهران
پردیس دانشکده های فنی
دانشکده مهندسی متالورژی و مواد

عنوان

بررسی اثر عناصر کمیاب خاکی و ذیر کوئینیم بر رفتار خزشی آلیاژ منیزیم
AZ91

فرهود کبیریان

استاد راهنمای

دکتر رضا محمودی

استاد مشاور

دکتر حسن فرهنگی

پایان نامه جهت دریافت درجه کارشناسی اشد
گرایش شناسایی و انتخاب مواد

بهمن ۸۶

۱۷۷۴

۱۳۸۷ / ۱۲ / ۱۷



تعهد نامه اصالت اثر

اینجانب.... فرهود کبیریان..... تایید می‌کنم که مطالب مندرج در این پایان نامه حاصل کار پژوهشی اینجانب است و به دستاوردهای پژوهشی دیگران که در این نوشته از آنها استفاده شده است مطابق مقررات ارجاع گردیده است. این پایان نامه قبل از احراز هیچ مدرک هم سطح یا بالاتر ارائه نشده است.

کلیه حقوق مادی و معنوی این اثر متعلق به دانشکده فنی دانشگاه تهران می‌باشد.

نام و نام خانوادگی دانشجو: فرهود کبیریان
امضاء دانشجو:

۱۳۸۷/۲/۱۳

تقدیم به پدر و مادرم حامیان همیشگی من در زندگی

پاس و قدردانی

بر خود لازم می داشم که از جانب آقای دکتر محمودی استاد راهنمای این پایان نامه، به حاضر فراهم آوردن فنازی فکری
و ابزاری مناسب به مقتور انجام این تحقیق، پاسگذاری نمایم.

همچنین بدنویله از ساقیان مهندس گرانایه و مهندس نوری که در انجام این فرایند طولانی مدت از نظر فکری و علمی با انجام
همیار بودند تشکر و قدردانی به علی می آورم.

چکیده

در این تحقیق اثر اضافه سازی زیرکونیم و عناصر کمیاب خاکی بر رفتار خزشی آلیاژ منیزیم، AZ91 با ترکیب شیمیایی اسمی $Mg-(8.3-9.7)wt.\%Al-(0.35-1.0)wt.\%Zn-(0.15-0.5)wt.\%Mn$ مورد بررسی قرار گرفت. Zr در سه درصد وزنی $0/2$ ، $0/6$ و $1/0$ به آلیاژ پایه اضافه شد. عناصر کمیاب خاکی، RE، نیز در درصدهای وزنی 1 ، 2 و 3 به آلیاژ پایه اضافه گردیدند. ریزساختار آلیاژهای مورد نظر در حالت ریختگی و بوسیله میکروسکوپ نوری، SEM و XRD مورد بررسی قرار گرفت. آزمایش‌های خزش فرو روندگی در پنج دمای 425 ، 455 ، 485 و 525 K و سطوح تنشی 100 MPa تا 200 انجام گرفتند. با بکارگیری رابطه توانی مشخص شد توانهای تنشی بدست آمده برای آلیاژ پایه تابع دما بوده و از مقداری حدوداً برابر با $6/3$ در دمای 425 K به مقداری برابر با $4/2$ در دمای 570 K افت نشان داد. ضمن آنکه مقدار انرژی های فعال سازی مربوط به خزش آلیاژ پایه کمتر از مقدار انرژی نفوذ در شبکه منیزیم بوده و با افزایش سطح تنش از مقداری برابر با $118/6$ kJ/mol در $0/021$ $\sigma_{imp}/G = 0/021$ kJ/mol برابر با $94/1$ در $0/040$ $\sigma_{imp}/G = 0/040$ افت نمود. بر اساس محاسبات صورت گرفته این مقدار انرژی فعال سازی همراه با توانهای تنشی بدست آمده، خزش نابجایی‌ها تحت کنترل نفوذ در داخل شبکه به همراه نفوذ در هسته نابجایی‌ها را بعنوان مکانیزم خزشی پیشنهاد می‌نماید. مطالعه ساختار آلیاژ پایه بعد از خزش نشان از کشیدگی و فشردگی شدید رسوبات بین دندریتی β - $Mg_{17}Al_{12}$ در امتداد مسیر تغییر شکل را داشت که این خود ناتوانی این رسوبات، در جلوگیری از تغییرشکل بیشتر خصوصاً در نواحی مرزی را ثابت کرد. نتایج خزشی آلیاژهای حاوی زیرکونیم و نیز عناصر کمیاب خاکی ضمن آنکه رفتار خزشی مشابه با آلیاژ پایه را ارائه نمود، نشان از بهبود مقاومت خزشی این آلیاژها نسبت به آلیاژ پایه را داشت. بهبود مقاومت خزشی در آلیاژهای حاوی زیرکونیم به تشکیل ذرات میکرونی حاوی زیرکونیم در داخل دندریت‌ها نسبت داده شد. مطالعات XRD نشان داد که این ذرات احتمالاً ترکیبات بین فلزی Al_2Zr و Al_3Zr_2 بوده که از پایداری حرارتی قابل ملاحظه‌ای برخوردارند. این ذرات سدی پایدار در برابر حرکت نابجایی‌ها در حین خزش محسوب می‌شوند. بهبود مقاومت خزشی در آلیاژهای حاوی RE به شکل گیری ترکیبات بین فلزی $Al_{11}RE_3$ که با یک مورفولوژی میله‌ای - انشعابی در داخل دندریت‌ها و بر روی مرزهای دندریتی گسترش یافتند نسبت داده شد. این ترکیبات با پایداری حرارتی قابل ملاحظه و معرفی سطوح فصل مشترکی بالا با زمینه منیزیم، مانعِ محکم در برابر حرکت نابجایی‌ها و نیز تغییر شکل نواحی مرزی به شمار می‌روند.

فهرست عناوین

۱	۱	- فصل اول : مقدمه
۴	۲	- فصل دوم: مروری بر منابع
۴	۲-۱	- نگاهی کلی به خزش فلزات و آلیاژها
۵	۲-۱-۱	- مکانیزم های خزشی
۸	۲-۲	- مروری بر خواص کلی منیزیم و آلیاژهای آن
۹	۲-۳	- معرفی آلیاژهای ریختگی منیزیم حاوی آلومینیم
۱۱	۲-۴	- مروری بر رفتار خزشی منیزیم و آلیاژهای آن
۲۰	۲-۵	- بررسی راه حل های ممکن برای کاهش نرخ خزش
۲۱	۲-۶	- علل مقاومت خزشی ضعیف آلیاژهای Mg-Al
۲۳	۲-۷	- توسعه آلیاژهای ریختگی مقاوم به خزش منیزیم
۲۳	۲-۷-۱	: Mg-Al-RE -آلیاژهای
۲۶	۲-۷-۲	Mg-Al-Ca-(Sr) -آلیاژهای
۲۸	۲-۷-۳	Mg-Al-Sr -آلیاژهای
۳۰	۲-۸	- مروری بر روش خزش فرو روندگی
۳۲	۲-۸-۱	- تحلیل خزش فرو روندگی
۳۴	۳	- فصل سوم: روش انجام آزمایش ها
۳۵	۳-۱	- تهیه مواد اولیه
۳۶	۳-۲	- ذوب و ریخته گری
۳۸	۳-۳	- متالوگرافی
۳۸	۳-۴	- آماده سازی نمونه های خزش
۳۹	۳-۵	- آزمون خزش
۴۰	۴	- فصل چهارم: نتایج
۴۱	۴-۱	- نتایج مربوط به آلیاژ پایه AZ91
۴۱	۴-۱-۱	- ریزساختار قبل از خزش
۴۴	۴-۱-۲	- نتایج خزش آلیاژ پایه AZ91
۴۷	۴-۱-۳	- ریزساختار بعد از خزش
۵۱	۴-۲	- نتایج مربوط به آلیاژهای حاوی زیرکونیم
۵۱	۴-۲-۱	- ریزساختار آلیاژهای حاوی زیرکونیم
۵۶	۴-۲-۲	- نتایج خزش فرو روندگی آلیاژهای حاوی زیرکونیم
۶۷	۴-۳	- نتایج مربوط به آلیاژهای حاوی عنصر کمیاب خاکی، RE
۶۷	۴-۳-۱	- ریزساختار قبل از خزش آلیاژهای حاوی عنصر RE
۷۱	۴-۳-۲	- نتایج خزش فرو روندگی آلیاژهای حاوی عنصر RE
۸۰	۴-۳-۳	- ریزساختار بعد از خزش آلیاژهای حاوی عنصر RE
۸۱	۴-۴	- اثر اضافه سازی کلسیم، Ca، بر ریزساختار و خواص خزشی AZ91

الف

۴-۵- بررسی اثر همزمان زیرکونیم و عناصر کمیاب خاکی بر مقاومت خزشی AZ91

۸۴

۵- فصل پنجم: بحث

۸۶

۱- ریزساختار آلیاژ پایه در حالت ریختگی

۸۷

۲- بررسی رفتار خزشی آلیاژ پایه و ارتباط آن با ریزساختار

۸۸

۳- مقایسه نتایج خزش فرو روندگی با نتایج خزش کششی آلیاژ AZ91

۹۱

۴- تبیین مکانیزم خزشی با کمک انرژی فعال سازی خزش

۹۳

۵- بررسی مشخصه های ساختاری آلیاژهای حاوی زیرکونیم

۹۹

۶- بررسی رفتار خزشی آلیاژهای حاوی حاوی زیرکونیم

۱۰۱

۷- ارتباط بین رفتار خزشی و ریزساختار آلیاژهای حاوی زیرکونیم

۱۰۲

۸- ریزساختار آلیاژهای حاوی عناصر کمیاب خاکی، RE

۱۰۵

۹- بررسی رفتار خزشی آلیاژهای حاوی عناصر کمیاب خاکی، RE

۱۰۶

۱۰- اثر کلسیم بر ریزساختار و مقاومت خزشی

۱۰۷

۱۱- بررسی علت افت مقاومت خزشی با اضافه سازی همزمان Zr و RE

۱۰۸

۶- فصل ششم: نتیجه گیری

۱۰۹

۷- مراجع

۱۱۲

فهرست شکل‌ها

صفحه	توضیحات مربوطه	شماره شکل
۴	نمایشی شماتیک از منحنی خزش شامل مراحل مختلف خزش.	۲-۱
۸	درصد کاهش وزن مواد مختلف به عنوان جایگزینی برای فولاد با استفاده از معیار استحکام خمشی یکسان.	۲-۲
۱۵	تصویر SEM از جزئیات ریزساختار آلیاژ (Mg-9Al-1Zn) AZ91	۲-۳
۱۶	الف) منحنی های خزش آلیاژ AZ91 در دما $150^{\circ}C$ در (B) میکروگراف TEM راستای محور ناحیه ای $\langle\bar{1}\bar{1}\bar{1}\rangle$ ، نابجایی ها بر روی صفحات قاعده ای (B) و نابجایی ها بر روی صفحات غیرقاعده ای (NB).	۲-۴
۱۶	تغییرات انرژی فعال سازی خزش در تنش ۱۵۰ MPa با دما.	۲-۵
۱۸	ریزساختار های TEM بعد از تغییرشکل خزش فشاری در دمای $275^{\circ}C$ تحت 45 MPa (الف و ب) و دمای $325^{\circ}C$ تحت 45 MPa (ج و د) آلیاژ AZ91D	۲-۶
۱۸	نرخ کرنش نرماله شده پوسیله دما بر حسب $\sinh(\alpha_0\sigma)$ $(\alpha_0 = 0.024, Q = 143 \text{ kJ/mol})$	۲-۷
۱۹	الف) منحنی نرخ خزش حداقل بر حسب تنش برای آلیاژ AM50 در محدوده دمایی K ۴۲۳-۴۹۸ (ب) منحنی نرخ خزش حداقل بر حسب معکوس دما برای آلیاژ AM50	۲-۸
۲۵	تصویر SEM نمایش دهنده ریزساختار آلیاژ AE42 (الف) به صورت ریختگی (ب) بعد از آزمایش کردن در دمای $175^{\circ}C$.	۲-۹
۲۷	استحکام خزشی در $175^{\circ}C$ برای آلیاژهای رایج ریختگی منجیم و آلومینیوم AX(J)	۲-۱۰
۲۸	الف) تصاویر TEM نمایشگر شکل‌گیری فاز مرزدانه‌ای $(\text{Mg},\text{Al})_2\text{Ca}$ ، در آلیاژ AX53 (ب) مورفولوژی پله‌ای در فصل مشترک.	۲-۱۱
۳۰	منحنی های خزش آلیاژهای AJ، AJC و AE42 در شرایط $70 \text{ MPa}/175^{\circ}C$ در طول ۱۰۰ ساعت.	۲-۱۲
۳۱	نمایش ساده آزمون های خزش فرو روندگی (الف و ب) با فرو رونده های هرمی و گروی و تنش متغیر (Indentation Creep) (ج) با فرو رونده استوانه ای و تحت تنش ثابت (Impression Creep).	۲-۱۳
۳۷	تصاویری از سیستم ریخته‌گری چرخان (Tilt).	۳-۱
۳۷	نمایی شماتیک از نیم قالب ریخته‌گری.	۳-۲
۴۱	تصویر نوری از ساختار دندانه‌ای آلیاژ AZ91	۴-۱
۴۱	الگوی پراش آلیاژ AZ91	۴-۲
۴۲	تصویر الکترون‌های برگشتی از ریزساختار آلیاژ AZ91	۴-۳

۴۳	الف) تصویر SEM از اجزای تشکیل دهنده ساختار آلیاژ AZ91 ب، ج و د) نتیجه آنالیز EDS از نقاط معادل نواحی C, B, A در شکل ۴-۴ الف.	۴-۴
۴۴	الف) نمایش رسوب گذاری لایه و یا ناپیوسته $Mg_{17}Al_{12}$ اطراف رسوبات یوتکنیکی (ب) نتیجه آنالیز EDS از ساختار لایه‌ای.	۴-۵
۴۵	منحنی های عمق فرو رفتگی بر حسب زمان برای آلیاژ AZ91 در دماهای (الف) $455K, 425K, 485K, 455K, 525K$ و $570K$	۴-۶
۴۶	منحنی سرعت فرو رفتگی بر حسب زمان برای AZ91 در سه دمای $455, 425, 485K$ و $\sigma_{imp}/G \approx 0.034$ و $485K$	۴-۷
۴۶	نمایش لگاریتمی سرعت فرو رفتگی در دماهای مختلف به دما بر حسب تنش نرماله شده به مدول پرشی برای AZ91 در دماهای مختلف.	۴-۸
۴۷	نمایش نیمه لگاریتمی سرعت فرو رفتگی در سطوح تنشی مختلف برای آلیاژ AZ91 در سطوح تنشی مختلف.	۴-۹
۴۹	الف و ب) سطح مقطع حاصل از برش در امتداد قطر اثر مربوط به گوشه های سمت راست و چپ نمونه خزشی در دمای K. ۴۵۵ پیکان های خمیده جهت تغییر شکل ماده را نمایش می‌دهند، ج) نمایش در بزرگنمایی بالا از فشردگی و تغییر شکل رسوبات و دندربیت‌ها در امتداد جهت تغییر شکل واقع در ناحیه ۲.	۴-۱۰
۵۰	سطح مقطع حاصل از برش در امتداد قطر اثر نمونه خزشی در دمای K. ۵۲۵ بیضی اشاره به منطقه‌ای دارد که در آن رسوب گذاری شدید فاز $\beta-Mg_{17}Al_{12}$ رخ داده است و ب) تصویر در بزرگنمایی بالا از رسوبات ثانویه ایجاد شده در مناطق فوق اشباع از آلومینیم در اطراف رسوبات $\beta-Mg_{17}Al_{12}$ اولیه. پیکان ها به رسوبات $\beta-Mg_{17}Al_{12}$ ثانویه ایجاد شده در منطقه مرکز تنش اشاره دارند.	۴-۱۱
۵۱	تصاویر نوری از ریزساختار آلیاژهای (الف) پایه، AZ91+0.2Zr (ج) AZ91+1.0Zr و AZ91+0.6Zr (د)	۴-۱۲
۵۲	مقایسه الگوی پراش آلیاژ AZ91+1.0Zr با آلیاژ پایه.	۴-۱۳
۵۳	تصاویر حاصل از الکترون های برگشتی از ساختار (الف) AZ91+0.6Zr با کسر حجمی فاز دوم 12% (ب) AZ91 با کسر حجمی فاز دوم 8% (ب)	۴-۱۴
۵۴	الف) تصویر الکترون های برگشتی از ذرات ایجاد شده در اثر اضافه سازی زیرکونیم، ب) طیف EDS ذرات نشان داده شده در شکل الف.	۴-۱۵
۵۵	الف) تصویر الکترون های برگشتی از ذرات ایجاد شده در اثر اضافه سازی زیرکونیم، ب) طیف EDS ذرات نشان داده شده در شکل الف.	۴-۱۶
۵۵	نقشه اشعه X (تصویر سمت چپ) از ساختار آلیاژ AZ91+0.6Zr (تصویر سمت راست).	۴-۱۷
۵۷	منحنی های عمق فرو رفتگی بر حسب زمان برای آلیاژ AZ91+0.2Zr در دماهای (الف) $425K, 455K, 485K, 525K$ و $570K$	۴-۱۸
۵۸	نمایش لگاریتمی سرعت فرو رفتگی در دما بر حسب تنش نرماله شده	۴-۱۹

	بوسیله مدول برشی برای AZ91+0.2Zr در دماهای مختلف.	
۵۸	نمایش نیمه لگاریتمی سرعت فرو رفتن نرماله شده با دما بر حسب معکوس دما برای آلیاژ AZ91+0.2Zr در سطوح تنشی مختلف.	۴-۲۰
۵۹	منحنی های عمق فرو رفتگی بر حسب زمان برای آلیاژ AZ91+0.6Zr در دماهای (الف) ۴۲۵K، (ب) ۴۵۵K، (ج) ۴۸۵K، (د) ۵۲۵K و (ه) ۵۷۰K.	۴-۲۱
۶۰	نمایش لگاریتمی سرعت فرو رفتن نرماله شده با دما بر حسب تنش نرماله شده بوسیله مدول برشی برای آلیاژ AZ91+0.6Zr در دماهای مختلف.	۴-۲۲
۶۰	نمایش نیمه لگاریتمی سرعت فرو رفتن نرماله شده با دما بر حسب معکوس دما برای آلیاژ AZ91+0.6Zr در سطوح تنشی مختلف.	۴-۲۳
۶۱	منحنی های عمق فرو رفتگی بر حسب زمان برای آلیاژ AZ91+1.0Zr در دماهای (الف) ۴۲۵K، (ب) ۴۵۵K، (ج) ۴۸۵K، (د) ۵۲۵K و (ه) ۵۷۰K.	۴-۲۴
۶۲	نمایش لگاریتمی سرعت فرو رفتن نرماله شده با دما بر حسب تنش نرماله شده بوسیله مدول برشی برای آلیاژ AZ91+1.0Zr در دماهای مختلف.	۴-۲۵
۶۲	نمایش نیمه لگاریتمی سرعت فرو رفتن نرماله شده با دما بر حسب معکوس دما برای آلیاژ AZ91+1.0Zr در سطوح تنشی مختلف.	۴-۲۶
۶۴	منحنی های خزشی بدست آمده از آلیاژهای حاوی Zr در مقایسه با آلیاژ پایه در دمای K ۴۲۵ در تنش (الف) ۵۰۰ MPa، (ب) ۵۵۰ MPa و (ج) ۶۰۰ MPa.	۴-۲۷
۶۴	نمایش میله ای از حداقل سرعت فرو رفتن آلیاژهای حاوی زیرکونیم در مقایسه با آلیاژ پایه در دمای ۴۲۵K.	۴-۲۸
۶۶	منحنی های خزشی بدست آمده از آلیاژهای حاوی Zr در مقایسه با آلیاژ پایه در دمای K ۴۵۵ در تنش (الف) ۴۵۰ MPa، (ب) ۴۰۰ MPa و (ج) ۴۵۰ MPa.	۴-۲۹
۶۶	نمایش میله ای از حداقل سرعت فرو رفتن آلیاژهای حاوی Zr در مقایسه با آلیاژ پایه در دمای ۴۲۵K.	۴-۳۰
۶۷	منحنی های خزشی بدست آمده از آلیاژهای حاوی Zr در مقایسه با آلیاژ پایه در دمای K ۴۸۵ در تنش (الف) ۳۰۰ MPa، (ب) ۴۰۰ MPa.	۴-۳۱
۶۸	تصاویر نوری از ریزساختار آلیاژهای (الف) پایه، (ب) AZ91، (ج) AZ91+1RE و (د) AZ91+3RE.	۴-۳۲
۶۹	نمایش فازهای میله ای شکل در داخل و مرزهای دندربیت (الف) AZ91+1RE و (ب) AZ91+2RE. پیکان ها اشاره فازهای میله ای شکلی دارند که در اثر اضافه سازی عنصر RE در ساختار پدیدار شده اند.	۴-۳۳
۶۹	مقایسه مقایسه الگوی پراش آلیاژ AZ91+2RE با آلیاژ پایه.	۴-۳۴
۷۰	(الف) تصویر الکترون های برگشتی از آلیاژ AZ91+1RE (ب) آنالیز EDS بر روی فازهای روش در تصویر الف.	۴-۳۵
۷۱	تصاویر الکترونها برگشتی از ریزساختار آلیاژهای (الف) AZ91+1RE (ب) AZ91+3RE، (ج) AZ91+2RE (د) نمایش میله های Al ₁₁ RE ₃ در ساختار آلیاژ	۴-۳۶

	AZ91+3RE	
۷۲	منحنی های عمق فرو رفتگی بر حسب زمان برای آلیاژ AZ91+1RE در دماهای (الف) ۴۲۵K، (ب) ۴۵۵K، (ج) ۴۸۵K و (د) ۵۲۵K	۴-۳۷
۷۳	نمایش لگاریتمی سرعت فرو رفتن نرماله شده با دما بر حسب تنش نرماله شده بوسیله مدول برشی برای آلیاژ AZ91+1.0RE در دماهای مختلف.	۴-۳۸
۷۴	نمایش نیمه لگاریتمی سرعت فرو رفتن نرماله شده با دما بر حسب معکوس دما برای آلیاژ AZ91+1RE در سطوح تنشی مختلف.	۴-۳۹
۷۴	منحنی های عمق فرو رفتگی بر حسب زمان برای AZ91+2RE در (الف) ۴۲۵K، (ب) ۴۵۵K، (ج) ۴۸۵K و (د) ۵۲۵K	۴-۴۰
۷۴	نمایش لگاریتمی سرعت فرو رفتن نرماله شده با دما بر حسب تنش نرماله شده بوسیله مدول برشی برای آلیاژ AZ91+2RE در دماهای مختلف.	۴-۴۱
۷۵	نمایش نیمه لگاریتمی سرعت فرو رفتن نرماله شده با دما بر حسب معکوس دما برای AZ91+2RE در تنشهای مختلف.	۴-۴۲
۷۵	منحنی های عمق فرو رفتگی بر حسب زمان برای AZ91+3RE در (الف) ۴۲۵K، (ب) ۴۵۵K، (ج) ۴۸۵K و (د) ۵۲۵K	۴-۴۳
۷۶	نمایش لگاریتمی سرعت فرو رفتن نرماله شده با دما بر حسب تنش نرماله شده بوسیله مدول برشی برای آلیاژ AZ91+3RE در دماهای مختلف.	۴-۴۴
۷۶	نمایش نیمه لگاریتمی سرعت فرو رفتن نرماله شده با دما بر حسب معکوس دما برای آلیاژ AZ91+3RE در سطوح تنشی مختلف.	۴-۴۵
۷۸	منحنی های خزشی بدست آمده از آلیاژهای حاوی RE در مقایسه با آلیاژ پایه در دمای ۴۲۵ K در تنش (الف) ۴۰۰ MPa و (ب) ۵۵۰ MPa	۴-۴۶
۷۸	نمایش میله ای از سرعت فرو رفتن حداقل آلیاژهای حاوی RE در مقایسه با آلیاژ پایه در دمای ۴۲۵ K	۴-۴۷
۷۹	منحنی های خزشی بدست آمده از آلیاژهای حاوی RE در مقایسه با آلیاژ پایه در دمای ۴۵۵ K در تنش (الف) ۴۰۰ MPa و (ب) ۴۵۰ MPa	۴-۴۸
۷۹	نمایش میله ای از سرعت فرو رفتن حداقل آلیاژهای حاوی RE در مقایسه با آلیاژ پایه در دمای ۴۵۵K	۴-۴۹
۸۰	منحنی های خزشی بدست آمده از آلیاژهای حاوی RE در مقایسه با آلیاژ پایه در دمای ۴۸۵ K و تنش ۴۰۰ MPa	۴-۵۰
۸۱	ریزساختار بعد از خوش در دمای ۴۵۵K و تنش ۴۵۰ MPa (آلیاژ الف) AZ91+3RE و (ب) AZ91+2RE	۴-۵۱
۸۲	الگوی پراش آلیاژ AZ91+1Ca	۴-۵۲
۸۲	تصویر الکترون های برگشتی از ساختار آلیاژ AZ91+1Ca	۴-۵۳
۸۳	شکل ۱۲ مقایسه رفتار خزشی آلیاژهای AZ91+1.0Ca، AZ91 و AZ91+0.6Zr در دمای ۴۲۵K و تنش های (الف) ۴۰۰ MPa و (ب) ۵۰۰ MPa	۴-۵۴

۸۴	مقایسه رفتار خزشی آلیاژهای AZ91+1.0Ca, AZ91 و AZ91+0.6Zr در دمای ۴۵۰K و تنش های (الف) ۴۰۰ MPa و (ب) ۴۵۰ MPa.	۴-۵۵
۸۵	مقایسه رفتار خزشی آلیاژهای AZ91+2RE, AZ91+0.6Zr و AZ91+2RE+0.6Zr در دمای ۴۲۵ K.	۴-۵۶
۸۵	تصویر الکترون های برگشتی از ساختار آلیاژ AZ91+2RE+0.6Zr حاوی ذرات Al-RE و Al-Zr پایه.	۴-۵۷
۸۷	دیاگرام فازی دو تایی منیزیم -آلومینیم	۵-۱
۹۱	مقایسه اطلاعات بدست آمده از روش خزش فرو رو ندگی (این تحقیق) و خزش کششی [۱۷] آلیاژ AZ91 در حالت دایکست.	۵-۲
۹۴	بازنگری اطلاعات شکل ۵-۲ با اعمال D_{eff} به جای D_I	۵-۳
۹۶	نمایش انرژی فعال سازی پیش بینی شده نسبت به تنش نرماله با مدول برشی با استفاده از رابطه (۵-۲). تغییرات انرژی های فعال سازی بدست آمده بوسیله آزمایش های عملی در این تحقیق تطبیق نسبتاً خوبی با روند پیش بینی شده نشان می دهد.	۵-۴
۹۷	خط های (۱) (این تحقیق)، (۲) [۶۴] و (۳) [۶۵] به تنش بحرانی که بالای آن نفوذ از طریق هسته نابجایی ها غالب می باشد اشاره می کند.	۵-۵
۱۰۲	تصاویر نوری از ساختار آلیاژهای (الف) AZ91 و (ب) AZ91+0.6Zr بعد از ساعت همگن سازی در دمای ۴۱۰ °C.	۵-۶

فهرست جداول

صفحه	توضیحات مربوطه	شماره جدول
۶	مکانیزمهای خزش در سطوح میکرونی	۲-۱
۱۰	نگاهی کلی به آلیاژهای ریختگی منیزیم	۲-۲
۱۲	نرخ خزش و انرژی اکتیواسیون برای مکانیزیم های خزشی فعال شونده بوسیله حرارت	۲-۳
۲۲	انواع ترکیبات بین فلزی تشکیل شده در سیستم های دوتایی منیزیم	۲-۴
۲۵	تغییر در مقادیر فازها (Wt.-%) با انجام آزمایش خزش آلیاژ AE42	۲-۵
۳۵	ترکیب شیمیایی آلیاژهای مورد استفاده در این تحقیق	۳-۱
۳۸	ترکیب محلول حکاکی مورد استفاده	۳-۲

فصل نخست

مقدمه

در دوهه اخیر آلیاژهای منیزیم به عنوان یک کاندیدای مناسب به منظور بکارگیری در ساخت قطعات مورد استفاده در صنایع هوا فضاء، خودرو و الکترونیک مطرح شده اند. با مطرح شدن معضل انرژی در سالهای اخیر، تمایل به استفاده از آلیاژهای منیزیم با نسبت استحکام به وزن بالا، بیشتر شده است. اگرچه این امتیاز، آلیاژهای منیزیم را بسیار مورد توجه ساخته است اما وجود برخی محدودیت‌ها مانع گسترش این آلیاژها بوده است. مقاومت کم به خوردگی و قابلیت شکل‌پذیری پایین از جمله این محدودیت‌ها می‌باشد.

آلیاژهای منیزیم که آلومینیم در آنها عنوان عنصر آلیاژی اصلی محسوب می‌شود به خاطر قابلیت ریخته‌گری بالا و خواص استحکامی مناسب در دمای محیط، از پرکاربردترین آلیاژهای منیزیم می‌باشند. افت شدید خواص استحکامی و خزشی با افزایش دما از مواردی هستند که به عنوان مشکلات استفاده از آلیاژهای پایه Mg-Al مطرح می‌شوند. افت قابل ملاحظه خواص خزشی این آلیاژها در دماهای بالاتر از 150°C سبب شده است که حداکثر دمای کاری آنها از 150°C تجاوز ننماید. از این رو یکی از مباحثی که در تلاش‌های اخیر در زمینه توسعه آلیاژهای منیزیم به آن توجه می‌شود بهبود مقاومت خزشی آلیاژهای پایه Mg-Al با توجه به کاربرد بالای آنها در صنایع مختلف می‌باشد. به این منظور تحقیقات بسیاری به منظور بررسی رفتار خزشی منیزیم و آلیاژهای آن شده است. آشنایی با مکانیزم‌های خزشی در محدوده‌های دمایی و تنشی مختلف این امکان را فراهم می‌سازد که روشی مناسب برای بهبود مقاومت خزشی مورد استفاده قرار گیرد.

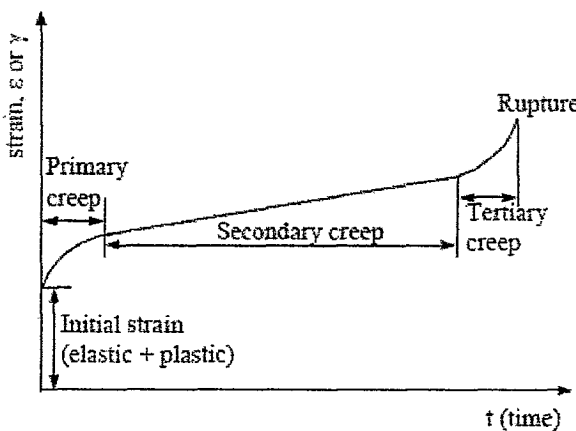
یکی از آلیاژهای مطرح منیزیم، آلیاژ AZ91 است. با توجه به ترکیب شیمایی اسمی این آلیاژ که عبارتست از $\text{Mg-(8.3-9.7)wt.\%Al-(0.35-1.0)wt.\%Zn-(0.15-0.5)wt.\%Mn}$ آلومینیم به عنوان عنصر آلیاژی اصلی در این آلیاژ محسوب می‌گردد. همانطورکه قبل نیز گفته شد این قبیل آلیاژها، قابلیت ریخته‌گری عالی و خواص مکانیکی مناسبی را در دمای محیط دارا می‌باشند اما با توجه به ضعف خواص خزشی این آلیاژ با افزایش دما به دماهای بالاتر از 125°C ، در این تحقیق سعی بر آن است تا با استفاده از روش خوش فرو روندگی با فرو رونده استوانه‌ای رفتار خزشی این آلیاژ در دماهای بالا مورد بحث قرار گیرد و سپس اثر اضافه سازی عناصر آلیاژی RE و Ca بر مقاومت خزشی آن مورد بررسی قرار گیرد.

فصل دوم

مرواری بر مبنی

۱-۲- نگاهی کلی به خزش فلزات و آلیاژها

چنانچه یک فلز در دمای بالا تحت بار ثابت قرار گیرد یک تغییرشکل پلاستیک وابسته به زمان نشان خواهد داد [۱]. به تغییرشکل پیوسته ماده با گذشت زمان، خزش می‌گویند. به طور کلی تغییر شکل خزشی چنانچه در حالت کششی انجام شود همانطورکه در شکل ۱-۲ نشان داده شده است شامل چهار مرحله می‌شود. بعد از یک مرحله تغییر شکل سریع، ϵ_1 ، نرخ خزش با گذشت زمان شروع به کاهش می‌کند سپس تغییر شکل وارد مرحله پایدار می‌شود که در آن نرخ خزش تغییرات بسیار کمی با زمان نشان می‌دهد و سرانجام نرخ خزش به سرعت افزایش پیدا می‌کند تا اینکه شکست در ماده رخ می‌دهد. در خزش‌های فشاری مرحله آخر وجود ندارد.



شکل ۱-۲- نمایشی شماتیک از منحنی خزش شامل مراحل مختلف خزش [۱].

در حالیکه در تغییر شکلهای الاستیک- پلاستیک، کرنش ایجاد شده تنها تابع تنش است (رابطه (۱-۲)) ، در خزش، کرنش تابع تنش و زمان می باشد (رابطه (۲-۲)) [۲]:

$$\varepsilon = f(\sigma) \quad (1-1)$$

$$\varepsilon = f(\sigma, t) \quad (1-2)$$

با توجه به اینکه سرعت حرکت اتمها با افزایش دما زیاد می‌گردد، فرایندهای تحت کنترل نفوذ تاثیر قابل ملاحظه‌ای بر خواص مکانیکی دما بالای ماده مورد نظر خواهند داشت. برای مواد مختلف با توجه به نقطه ذوب آنها، دمای بالا تعاریف متفاوتی دارد. لذا به منظور انجام یک مقایسه صحیح از رفتار خوشی مواد مختلف، دمای همسانی که عبارتست از نسبت دمای آزمایش به نقطه ذوب مطلق ماده تعريف می‌گردد [۳]. به طور کلی خوش در دمای همسانی بزرگتر از 10^5 از اهمیت مهندسی برخوردار می‌گردد.

طبق رابطه (۲-۳) اجزای تنشی فعال شده بوسیله حرارت مسبب تغییر شکل خوشی می‌باشند،

$$\sigma = \sigma_E + \sigma_T \quad (2-3)$$

که σ_T جزء حرارتی و σ_E جزء غیرحرارتی تنش می‌باشند.

در حالیکه تنشهای غیرحرارتی شامل حرکت قسمتهای طویلی از نابجایی‌های موازی می‌شوند، اجزای حرارتی تنها می‌توانند باعث حرکت بخش‌های کوچکی از یک نابجایی شوند که مجموع این دو سبب تغییر شکلی آهسته و دائمی معروف به خوش می‌شوند.

۱-۲-۱- مکانیزم‌های خوشی

عمده مکانیزم‌های تغییرشکل خوشی عبارتند از:

- ۱) لغزش نابجایی: این مکانیزم شامل لغزش نابجایی بر روی صفحات لغزش و غلبه آنها بر موانع موجود می‌شود. این مکانیزم معمولاً در سطوح تنشی بالا ($10^2 > G/\sigma$) رخ می‌دهد [۱].
- ۲) خوش نفوذی: این مکانیزم شامل حرکت جاهای خالی و اتمهای بین نشین تحت تنش اعمالی در سرتاسر کریستال می‌گردد. معمولاً این مکانیزم در سطوح تنشی پایین یعنی $10^{-4} < G/\sigma$ رخ می‌دهد. رخ دادن سیلان جاهای خالی و یا اتمهای بین نشین بوسیله نفوذ در شبکه و یا مرزهای دانه منجر به خوش پلی کریستال می‌گردد. این دو مسیر سیلان هر یک به صورت مستقل در نرخ کرنش کل سهیم خواهند بود. برای این دو مسیر نفوذ، رابطه تلفیقی (۲-۴) به عنوان رابطه بین نرخ کرنش کششی و تنش کششی ارائه شده است

. [۴]

$$\dot{\varepsilon}_{gb,bulk} = 14 \frac{\sigma\Omega}{kT} \frac{1}{d^2} D_v \left\{ 1 + \frac{\pi\delta}{d} \frac{D_b}{D_v} \right\} \quad (2-4)$$

که در این رابطه Ω حجم اتمی، d اندازه دانه، D_b ضریب نفوذ در مرز، D_v ضریب نفوذ در حجم و δ سطح مقطع موثر یک مرز برای انجام نفوذ است. چنانچه نفوذ در حجم شاخص تر باشد آنگاه تغییرشکل به خزش معروف می‌گردد در حالیکه چنانچه نفوذ در مرز به عنوان مکانیزم غالب شناخته شود آنگاه Nabbaro-Herring Coble مطرح می‌گردد. مکانیزم‌هایی که در سطوح میکروونی منجر به خزش نفوذی می‌گردند در جدول ۱-۲ ارائه شده است. با توجه به اینکه مرزهای دانه از مسیرهای سریع نفوذ به حساب می‌آیند، خزش نفوذی به شدت وابسته به اندازه دانه می‌باشد [۴].

جدول ۱-۲ - مکانیزم‌های خزش در سطوح میکروونی [۳]

دماهای بالا: فرآیندهای بازیابی فعال شده بوسیله حرارت	
خزش نابجایی	خزش نفوذی
صعود نابجایی	مسیرهای نفوذ سریع از قبیل هسته‌های نابجایی و مرزهای دانه
حرکت اتمسفر نابجایی	
لغزش متقطع	نفوذ در حجم (فضاهای خالی و فضاهای بین نشین)
برش مرزدانه	$T > 0.3T_m$

۳) خزش نابجایی : حرکت نابجایی‌ها سبب تغییرشکل پلاستیک ماده می‌شود. مواجه شدن نابجایی‌ها با موانعی از قبیل رسوبات، مرزهای دانه و نابجایی‌های دیگر منجر به بالا رفتن سطح استحکام ماده در دمای پایین می‌گردد. در دماهای بالا، نابجایی‌ها می‌توانند از این موانع عبور کنند. در کنار لغزش متقطع به عنوان یکی از راه‌های فرار از موانع، صعود نابجایی‌ها که یک فرایند نفوذی می‌باشد به عنوان مکانیزم اصلی برای عبور از این موانع مطرح می‌گردد. در واقع در این مکانیزم خرزشی حرکت نابجایی‌ها به کمک فرایندهای فعال شونده

بوسیله حرارت از قبیل نفوذ جاهای خالی و اتم های بین نشین صورت می گیرد. به این دلیل، نرخ خزش نه تنها وابسته به دما و تنش است، بلکه تابع خصوصیات دیگری از ماده از قبیل ضریب نفوذ و انرژی نقص در چیده شدن نیز می گردد. به دنبال فرایند صعود، در اثر اعمال تنشهای نسبتا بالا نابجایی ها داخل دانه های پلی کریستال حرکت می کنند و در اثر تجمع آنها سلوشهای نابجایی داخل دانه تشکیل می گردد. بنابراین تغییرشکل حاصل شده برخلاف لغزش نابجایی ها تحت کنترل نفوذ است. این مکانیزم معمولا در سطوح تنشی متوسط رابطه بین نرخ کرنش و تنش کششی در حالیکه مکانیزم خزش نابجایی ها مکانیزم غالب باشد عبارتست از [۵]:

$$\dot{\varepsilon} = A \left(\frac{b}{d} \right)^p \frac{D_0 G b}{kT} \left(\frac{\sigma}{G} \right)^n \exp\left(-\frac{Q_c}{RT}\right) \quad (2-5)$$

که در این رابطه، A انرژی نقص در چیده شدن، b بردار برگرز، d اندازه دانه، D_0 فاکتور فرکانسی، G مدول برشی، Q_c انرژی فعال سازی خزش، k ثابت بولتزمان و p و n ثوابت بدون بعد هستند. فرایندهای خزش و یا لغزش نابجایی منجر به ایجاد بافت جدید در ساختار می گردند در حالیکه در خزش نفوذی چنین اتفاقی رخ نمی دهد. در ضمن برخلاف خزش نفوذی، در خزش نابجایی اندازه دانه تاثیر قابل ملاحظه ای بر رفتار خزشی ندارد [۴]. خزش نابجایی در سطوح میکرونی از مکانیزم هایی که در جدول ۲-۱ ارائه شده است، تشکیل می گردد.

۴) لغزش مرزدانه ای: لغزش مرزدانه ای بر اثر تضعیف مرزهای دانه در دمای بالا رخ می دهد. تضعیف مرزهای دانه می تواند در اثر ناپایداری حرارتی فازهای مرزدانه ای، عیوب ساختاری نزدیک مرزدانه و یا در اثر فرایندهای رسوب گذاری موضعی و اندرکنش های پیچیده آنها با نابجایی ها رخ دهد. در طول لغزش مرزدانه ای، دانه ها بدون آنکه تغییرشکل قابل ملاحظه ای را تحمل کنند روی یکدیگر می لغزنند [۶]. از این رو لغزش دانه ها بر روی یکدیگر مسبب بروز این مکانیزم می گردد.